

# Задержанная во времени квантовая интерференция и однофотонное эхо в когерентных трехуровневых средах

**С.А.Моисеев**

*Предложен новый вариант задержанной во времени квантовой интерференции фотонов, которая может проявляться в возникновении сигнала однофотонного эха в когерентных трехуровневых макроскопических средах. Проанализированы неклассические закономерности изучаемой интерференции, отражающиеся в особенностях взаимодействия поля и среды, а также свойствах излучаемого эхо-сигнала.*

**Ключевые слова:** задержанная во времени квантовая интерференция, фотон, однофотонное эхо, перепутанные квантовые состояния, неклассическая динамика.

## 1. Введение

Благодаря значительному прогрессу лазерной техники в настоящее время все больший интерес вызывают эксперименты, в которых квантовомеханическая природа света приобретает решающее значение. Важное место в данных исследованиях занимают работы, посвященные предельно слабым световым полям, «содержащим» счетное число фотонов (одно-, двух-, трехфотонные поля и т. д.), их взаимодействию с атомами, молекулами и макроскопическими телами. Особое внимание кенным полям вызвано тем, что их неклассические свойства могут определять основные закономерности наблюдаемых экспериментально эффектов. Широкий спектр вопросов физики слабых световых полей рассматривается в монографиях [1–3], посвященных фундаментальным проблемам квантовой оптики.

В настоящей работе изучаются вопросы интерференции фотонов в макроскопических когерентных средах. Формирование интерференционной картины потоком отдельных фотонов было впервые зарегистрировано экспериментально в [4, 5]. Подобная интерференция называется квантовой, а для света – однофотонной, или амплитудной [6]. Хорошо известен детальный анализ свойств квантовой интерференции, проведенный Р.Фейнманом на примере потока электронов [7]. В [4, 5] поток редко летящих фотонов создавался просто предельным ослаблением света. В последнее время способы приготовления неклассических состояний света значительно усовершенствовались, в особенности для слабых световых полей [6], что, в частности, имеет большое значение для решения задач квантовой информатики [8, 9].

Отметим тот факт, что объяснение свойств квантовой интерференции непосредственно связано с интерпретацией основных положений квантовой теории. Это обстоятельство проявляется в том, что целый ряд актуаль-

ных физических проблем квантовой теории измерений [10, 11] и квантовой информатики [12, 13] оказался так или иначе связанным с изучением свойств интерференции различных состояний фотона. При разработке данных проблем следует, по-видимому, обратить внимание на то, что в макроскопических средах однофотонная интерференция может формироваться при более общих физических условиях, чем это имело место в отмеченных выше экспериментах [4, 5]. А именно, при наличии фазовой памяти в веществе интерференция света (рассматриваемая ниже в схеме типа Френеля – Юнга) становится возможной даже в случае, когда разность хода фотона по двум пространственно разделенным траекториям интерферометра  $L_{21}$  существенно превышает пространственную длину волнового пакета фотона  $\delta l_{ph} = c\delta t_{ph}$  ( $L_{21} \gg \delta l_{ph}$ ), где  $\delta t_{ph} \approx (\delta\omega_{ph})^{-1}$  – длительность волнового пакета;  $\delta\omega_{ph} = c\delta k$  – спектральная ширина волнового пакета (определение  $\delta k$  см. ниже, после формул (1)–(3));  $L_{21} = L_2 - L_1$ ;  $L_{2,1}$  – расстояния, проходимые фотоном вдоль каждого из двух возможных оптических путей [14–16]. Такую интерференцию будем называть *однофотонной времязадержанной (ОВЗ) интерференцией* [14].

Подчеркнем, что при формировании ОВЗ интерференции в веществе непосредственная интерференция фотона с самим собой полностью исключается. Обратим внимание также на то, что учет влияния фазовой памяти вещества на возникновение квантовой интерференции представляет собой задачу о переходной стадии возникновения классического отклика – события, формирующееся в самой среде в результате ее взаимодействия с фотоном или во внешнем относительно среды детекторе. Сама переходная стадия отклика охватывает формирование, развитие и распад макроскопической когерентности среды, наводимой взаимодействием с фотоном или с какой-либо другой микрочастицей, подвергаемой изменению (см., напр., [17]).

Наличие фазовой памяти у среды делает возможным различные варианты реализации ОВЗ интерференции, различающиеся характером взаимодействия света с атомами; некоторые из таких вариантов были предложены в работах [14–16, 18, 19]. В [20] ОВЗ интерференция рассматривается с точки зрения квантовой теории непрерывных измерений, применяемой к макроскопическому

Казанский физико-технический институт им. Е.К.Завойского, Казанский научный центр РАН, Россия, 420029 Казань, Сибирский тракт, 10/7; тел: 8-(8432)-76-05-63, эл. почта: moiseev@dionis.kfti.knc.ru

Поступила в редакцию 1 марта 2000 г., после доработки – 9 ноября 2000 г.

телу. Отметим, что динамические закономерности изучаемой ОВЗ интерференции могут быть интересны при поиске способов генерации новых неклассических состояний нестационарного света [15]. Для этой цели в недавней статье [19], развивающей работы [14, 15], предлагался ряд схем, в том числе использующих сжатые состояния света.

В настоящей работе изучается новый вариант ОВЗ интерференции (см. рис.1), основанный на взаимодействии фотонов и лазерного излучения с системой трехуровневых атомов (трехуровневой средой), имеющих  $\Lambda$ -конфигурацию разрешенных переходов. Предлагаемый вариант ОВЗ интерференции в зависимости от способа ее наблюдения может проявлять как классические, так и квантовые свойства света. При этом возможность наблюдения квантовых эффектов обусловлена тем, что в отличие от традиционной амплитудной интерференции ОВЗ интерференция в трехуровневой когерентной среде может реализовываться в виде динамической [15, 16], а не стационарной интерференционной картины, наблюдавшейся в работах [4, 5]. А именно, ОВЗ интерференция может формироваться лишь в поляризации среды, определяя неклассическую динамику этой поляризации, причем вероятность возбуждения атомов по пространству среды не модулируется.

Значительное внимание будет уделено также обсуждению «нелокального» во времени характера взаимодействия фотонов с макроскопическими средами, ответственного за появление интересной реализации состояния типа «шредингеровского кота», физика которой, как известно, продолжает привлекать к себе значительное внимание. В данном случае существование состояния в виде «шредингеровского кота» является необходимым условием формирования ОВЗ интерференции, которая, в свою очередь, может проявляться в виде сигнала однофотонного эха.

## 2. Формирование ОВЗ интерференции

Будем полагать, что свет в виде потока отдельно летящих фотонов пропускается через систему диафрагм и зеркал, а затем попадает на когерентную среду, содержащую систему трехуровневых атомов, особенности взаимодействия с которой и будут представлять для нас интерес. Схема предлагаемого эксперимента изображена на рис.1. Состояние каждого из фотонов до прохождения им зеркал обозначим  $|\Psi_{in}\rangle$ . После полупрозрачного и 100 %-ного зеркал в среде 3 формируется новое состояние  $|\Psi_{out}\rangle$  в виде суперпозиции двух макроскопически различных состояний типа  $|\Psi_{in}\rangle$ :

$$|\Psi_{in}\rangle = |\Psi_{ph1}\rangle, \quad (1)$$

$$|\Psi_{out}\rangle = \frac{1}{\sqrt{2}}(|\Psi_{ph1}\rangle + |\Psi_{ph2}\rangle), \quad (2)$$

$$|\Psi_{ph1,2}\rangle = \int_{-\infty}^{\infty} d^3k_{1,2} F_{1,2}(\omega_{k_{1,2}}; \mathbf{k}_{1,2} - \mathbf{K}_{1,2}; t = -\infty) \\ \times [\exp i(\omega_{k_{1,2}} t_{1,2})] a_{k_{1,2}}^+ |0\rangle |g\rangle. \quad (3)$$

Оба состояния  $|\Psi_{ph1,2}\rangle$  записаны в представлении взаимодействия с использованием выходных (после всех зеркал) мод поля (см., напр., [1–3, 6]);  $|g\rangle = \prod_{j=1}^N |1_j\rangle$  – основное состояние среды 3;  $|1_j\rangle$  – нижнее состояние  $j$ -го атома среды 3;  $|0\rangle$  – вакуумное состояние света;  $a_k^+(a_k)$  – операторы рождения (уничтожения) фотона моды  $\mathbf{k}$ ;  $F_{1,2}(\omega_{k_{1,2}}; \mathbf{k}_{1,2} - \mathbf{K}_{1,2}; t = -\infty)$  – квадратично нормирован-

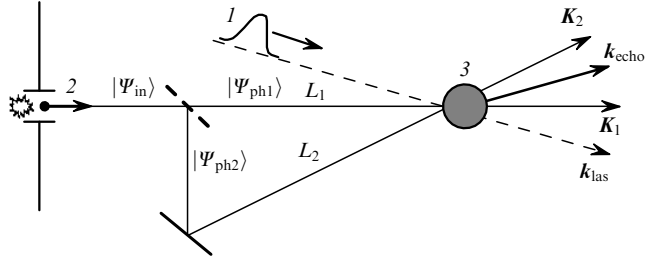


Рис.1. Схема формирования ОВЗ интерференции и однофотонного эха при  $L_2 - L_1 \gg c\delta t_{ph}$ ,  $\omega_{ph} \simeq \omega_{31}$ :  
1 – лазерный импульс ( $k_{las}$ ,  $\omega_{las} \simeq \omega_{32}$ ); 2 – фотоны ( $\delta t_{ph}$ ,  $\omega_{ph}$ ); 3 – когерентная среда.

ные волновые функции фотона в  $\mathbf{k}$ -пространстве, максимальные при  $\mathbf{k}_1 \approx \mathbf{K}_1$  или  $\mathbf{k}_2 \approx \mathbf{K}_2$  и частоте  $\omega_{k_{1,2}} = \omega_{ph}$  и соответствующие волновым пакетам, распространяющимся вдоль направления  $\mathbf{K}_1$  или  $\mathbf{K}_2$ , при этом отклонение длин волновых векторов  $\mathbf{k}_{1,2}$  от  $\mathbf{K}_{1,2}$ , для которых функции  $F_{1,2}(\omega_{k_{1,2}}; \mathbf{k}_{1,2} - \mathbf{K}_{1,2}; t = -\infty)$  близки к максимуму, находится в диапазоне  $\delta k$ ;  $t_{1,2}$  – времена появления каждого из двух волновых пакетов фотона в среде 3;  $\tau = t_2 - t_1 = L_{21}/c$  – относительная задержка; ниже полагаем  $t_1 = 0$  и  $\tau = t_2$ .

Обратим внимание на то, что наличие макроскопического расстояния между областями локализации двух пространственно разделенных состояний фотона  $|\Psi_{ph1}\rangle$  и  $|\Psi_{ph2}\rangle$  существенно расширяет экспериментальные возможности исследования неклассических свойств, обусловленных пространственной делокализацией состояния фотона. В настоящее время продолжают ставиться и обсуждаться различные опыты подобного рода (см., напр., [10, 11, 13], обстоятельный анализ ряда этих опытов с упором на квантовую кинематику приводится в недавней работе [21]). Спецификой же рассматриваемой ниже задачи является ориентация на изучение свойств неклассической динамики, сопровождающей формирование ОВЗ интерференции.

Учитывая начальное состояние (1)–(3), рассмотрим взаимодействие фотона с системой трехуровневых атомов среды 3 (см. рис.1), когда частота фотона  $\omega_{ph}$  резонансна атомному переходу  $|1\rangle \leftrightarrow |3\rangle$  ( $\omega_{ph} = cK_1 = \omega_{31}$ ). Пусть на среду 3 также подается короткий лазерный импульс, частота которого  $\omega_{las}$  совпадает с частотой второго разрешенного атомного перехода  $|2\rangle \leftrightarrow |3\rangle$  ( $\omega_{las} = \omega_{32}$ ). Время воздействия лазерного импульса  $t_{las}$  пусть удовлетворяет условию  $t_{las} > \delta t_{ph}$ , т. е. лазерный импульс попадает в среду после первого волнового пакета (время попадания первого волнового пакета  $t_1 = 0$ ).

Второй волновой пакет фотона попадает в среду уже после окончания действия лазерного импульса в момент времени  $t_2 = \tau > t_{las}$ . Таким образом, взаимодействие фотона с макроскопической средой, «расщепленное» на две траектории с временным интервалом  $\tau$  между ними, дополнительно возмущается воздействием на среду интенсивного короткого лазерного импульса. Для сравнения отметим, что в ранее изучаемых схемах однофотонной интерференции [14–16, 18, 19] полагалось, что лазерный импульс действует на среду 3 лишь после попадания в нее обоих волновых пакетов фотона, когда однофотонная интерференционная картина уже успела сформироваться в веществе.

При реальной постановке предлагаемого эксперимента изображенная на рис.1 схема взаимодействия фотона

и лазерного импульса со средой 3 должна многократно повторяться, а результаты измерений – накапливаться. В качестве измеряемых величин будем рассматривать амплитуду  $E_{\omega_{32}}(t, \mathbf{r})$  и интенсивность  $I_{\omega_{32}}(t, \mathbf{r})$  поля, переизлучаемого средой на частоте  $\omega \approx \omega_{32}$ . Другие подробности постановки подобных экспериментов обсуждаются также в [14–16].

Будем решать уравнение Шредингера, используя гамильтониан

$$H = \int_{-\infty}^{\infty} d^3k \hbar \omega_k a_k^+ a_k + \sum_{j=1}^N \sum_{l=1}^3 E_l^{(j)} P_{ll}^{(j)} - \sum_{j=1}^N \left[ dE(t; \mathbf{r}, \mathbf{k}_{\text{las}}) P_{32}^{(j)} \right. \\ \left. + \text{эрмит. сопр.} \right] + \hbar \sum_{j=1}^N \sum_{\substack{l, \xi=1 \\ (l>\xi)}}^3 \int_{-\infty}^{\infty} d^3k \left[ g_{l\xi}(\mathbf{k}) e^{i\mathbf{k}\mathbf{r}_j} a_k P_{l\xi}^{(j)} \right. \\ \left. + g_{l\xi}^*(\mathbf{k}) e^{-i\mathbf{k}\mathbf{r}_j} a_k^+ P_{\xi l}^{(j)} \right]. \quad (4)$$

Здесь  $P_{mn}^{(j)} = |m_j\rangle\langle n_j|$  – операторы перехода  $j$ -го атома из состояния  $|n_j\rangle$  в  $|m_j\rangle$  ( $m, n = 1 - 3$ );  $d = d_{32} = d_{23}$  – дипольный момент атомного перехода;  $N$  – число атомов. Первые два слагаемых в (4) представляют собой операторы энергии поля и системы трехуровневых атомов, третье слагаемое – оператор энергии взаимодействия атомов с лазерным полем, а четвертое – оператор энергии взаимодействия атомов с фотонами.

Воздействие лазерного импульса на атомы (третье слагаемое в (4)) будем описывать, используя классическое выражение для электрического поля  $\vec{E}(t; \mathbf{r}, \mathbf{k}_{\text{las}})$  импульса с заданными параметрами:

$$\vec{E}(t; \mathbf{r}, \mathbf{k}_{\text{las}}) = E(t; \mathbf{r}, \mathbf{k}_{\text{las}}) + E^*(t; \mathbf{r}, \mathbf{k}_{\text{las}}), \quad (5)$$

$$E(t; \mathbf{r}, \mathbf{k}_{\text{las}}) = \frac{1}{2} \mathbf{e}_{\text{las}} E_0(t - t_{\text{las}}) \exp[-i(\omega_{32}t - \mathbf{k}_{\text{las}}\mathbf{r} - \varphi_{\text{las}})]. \quad (6)$$

Взаимодействие излучения с атомами в (4) взято в приближении врачающейся волны. Полагаем, что частоты переходов между состояниями  $|m_j\rangle$  и  $|n_j\rangle$  различных атомов даются выражением  $\omega_{mn}^{(j)} = \omega_{mn}(1 + \xi_j)$ , где  $\xi_j$  – параметр, определяющий коррелированный сдвиг частот  $\delta\omega_{mn}^{(j)} = \xi_j \omega_{mn}$  между различными парами уровней  $j$ -го атома. Совокупность частот в системе атомов будем описывать, вводя обычным образом функцию распределения  $f(\xi)$  гауссова типа с максимумом при  $\xi = 0$ . Для Л-схемы разрешенных переходов постоянные взаимодействия удовлетворяют условию  $g_{21}(\mathbf{k}) \ll g_{32}(\mathbf{k}), g_{31}(\mathbf{k})$ . В остальном в гамильтониане (4) приняты стандартные обозначения (см., напр., [1–3, 22–24]).

Будем искать приближенное решение для волновой функции, останавливаясь на отдельных этапах.

## 2.1. Первый этап (временной интервал $0 < t < t_{\text{las}}$ )

При  $t < t_{\text{las}}$  второй волновой пакет еще не успевает достичь среды, так что ее взаимодействие с фотоном ограничено лишь первым волновым пакетом и определяет эволюцию первого слагаемого  $|\Psi_{\text{ph1}}\rangle$  в суперпозиции (2). Таким образом, решение для волновой функции примет вид

$$|\Psi(t)\rangle \Big|_{0 < t < \tau} = |\Psi_{\text{tr}}(t)\rangle = \frac{1}{\sqrt{2}} (|\Psi_1(t)\rangle + |\Psi_{\text{ph2}}(-\infty)\rangle), \quad (7)$$

где в соответствии с начальными условиями, определяемыми соотношениями (1)–(3), и видом гамильтониана взаимодействия слагаемое  $|\Psi_1(t)\rangle$  описывается выражением

$$|\Psi_1(t)\rangle = |\Psi_{\text{ph1}}(t)\rangle + |\Psi_{a1}^{(3)}(t)\rangle = \int_{-\infty}^{\infty} d^3k F_1(\omega_k; \mathbf{k} - \mathbf{K}_1; t) \\ \times a_k^+ |0\rangle |g\rangle + \sum_{j=1}^N \beta_1^{(j)}(t) e^{i\omega_{31}^{(j)} t_1} P_{31}^{(j)} |0\rangle |g\rangle, \quad (8)$$

где

$$\beta_1^{(j)}(t) = -i \int_{-\infty}^t dt \int_{-\infty}^{\infty} d^3k g_{31}(\mathbf{k}) \\ \times \exp[i\mathbf{k}\mathbf{r}_j - i(\omega_k - \omega_{31}^{(j)})(t - t_1)] F_1(\omega_k; \mathbf{k} - \mathbf{K}_1; t). \quad (9)$$

В (7)–(9) использовано представление взаимодействия и в волновой функции  $|\Psi_{a1}^{(3)}\rangle$  первый нижний индекс обозначает возбуждение атомной подсистемы, второй нижний индекс – номер волнового пакета фотона, а верхний индекс указывает номер атомного уровня.

При нахождении функции  $|\Psi_1(t)\rangle$  ограничимся частным случаем оптически толстой среды, что будет иметь место, если размеры среды  $L$  удовлетворяют условию  $\alpha L \gg 1$ , где  $\alpha^{-1}$  – беровская глубина резонансного поглощения света [24]. Для этого примем, что спектральная ширина резонансного перехода  $|1\rangle \rightarrow |3\rangle$  значительно превышает спектральную ширину волновой функции фотона:  $\delta\omega_{31} \gg \delta\omega_{\text{ph}}$ . При данных условиях распространения света в веществе волновой пакет фотона практически полностью поглотится системой резонансных атомов за время  $\delta t \approx \delta t_{\text{ph}} + \alpha^{-1}/c$ , так что волновая функция в (8) приобретет более простой вид:

$$|\Psi_1(t)\rangle \Big|_{t > \delta t} \approx |\Psi_{a1}^{(3)}(\delta t)\rangle.$$

Задачи о распространении импульса света в резонансной среде хорошо исследованы [24]; например, для задачи о распространении света в виде однофотонного волнового пакета существует известное аналитическое решение [25]. В частности, подобного рода решения используются в задачах о прохождении  $\gamma$ -квантов через систему мессбауэровских резонансных ядер (см., напр., [26] и приведенные там ссылки). При выбранных условиях резонансного взаимодействия огибающие импульсов света и, соответственно, волнового пакета фотона не изменяются по мере распространения в глубь среды, а испытывают лишь общее экспоненциальное затухание с постоянной  $\alpha$ , если частота фотона настроена на центр атомной линии. В этих условиях компоненты волновой функции  $|\Psi_{a1}^{(3)}(\delta t)\rangle$ , отвечающие возбуждению атомов в глубине среды ( $\sim \beta_1^{(j)}(t) P_{31}^{(j)}$ ), можно найти, используя (9), а также учитывая затухание амплитуды поля в глубине среды по закону  $\exp[-\alpha(\mathbf{n}_1 \mathbf{r}_j)/2]$  (где  $\mathbf{n}_1 = \mathbf{K}_1/K_1$ ) и появление дополнительного фазового сдвига  $\exp(i\mathbf{K}_1 \mathbf{r}_j)$  в связи с задержкой.

Таким образом, ограничиваясь приближением плоской волны и пренебрегая спонтанным распадом в боковые моды поля во время взаимодействия волнового пакета со средой  $\delta t$ , получаем

$$|\Psi_1(t > \delta t)\rangle \simeq |\Psi_{a1}^{(3)}(\delta t)\rangle = \sum_{j=1}^N \alpha_1 (\omega_{31}^{(j)} - \omega_{31}) \chi_1(\mathbf{r}_j) \\ \times \exp \left[ -\frac{\alpha(\mathbf{n}_1 \mathbf{r}_j)}{2} + i(\omega_{31}^{(j)} t_1 + \mathbf{K}_1 \mathbf{r}_j) \right] P_{31}^{(j)} |0\rangle |g\rangle, \quad (10)$$

где  $\chi_1(\mathbf{r}_j)$  – функция, определяемая распределением поля в плоскости, перпендикулярной направлению  $\mathbf{n}_1$ ;

$$\alpha_1(\omega_{31}^{(j)} - \omega_{31})\chi_1(\mathbf{r}_j) = -iC_n \int_{-\infty}^{\infty} dt \int_{-\infty}^{\infty} d^3k g_{32}(\mathbf{k})$$

$$\times F_1(\omega_k; \mathbf{k} - \mathbf{K}_1; t = -\infty) \exp[i(\omega_{31}^{(j)} - \omega_k)t + i(\mathbf{k} - \mathbf{K}_1)\mathbf{r}_j] \quad (11)$$

(принято  $t_1 = 0$ ). Постоянная  $C_n$  находится из условия нормировки состояния  $|\Psi_{a1}^{(3)}(t > \delta t)\rangle$ , что соответствует полному переходу возбуждения из волнового пакета в атомную подсистему:

$$\langle \Psi_{a1}^{(3)} | \Psi_{a1}^{(3)} \rangle = \sum_{j=1}^N |\alpha_1(\omega_{31}^{(j)} - \omega_{31})|^2 \chi_1^2(\mathbf{r}_j) \exp[-\alpha(\mathbf{n}_1 \mathbf{r}_j)] = 1. \quad (12)$$

Итак, при наличии преобладающего неоднородного уширения линий дипольные моменты различных атомов в состоянии  $|\Psi_{a1}^{(3)}(t > \delta t)\rangle$  становятся расфазированными при  $t > \delta t$ , благодаря чему макроскопическая поляризация среды сильно уменьшается, ослабляя связь между возбужденными состояниями атомов  $|\Psi_{a1}^{(3)}(t)\rangle$  и уменьшая поле в состоянии  $|\Psi_{ph1}(t)\rangle$ . До попадания в среду второго волнового пакета волновая функция, связанная с атомным возбуждением, будет изменяться лишь за счет спонтанных неколлективных (одноатомных) процессов. Роль спонтанных неколлективных процессов мы учтем в дальнейшем, вводя экспоненциальные множители  $\exp[-t(\gamma_{32} + \gamma_{31})/2]$  и  $\exp(-t\gamma_{21}/2)$  (где  $\gamma_{nm}$  – постоянные спонтанного перехода атома с уровня  $m$  на уровень  $n$ ) при волновых функциях возбужденных атомных состояний (см. ниже формулы (16), (17)). Однако расфазировка атомных диполей сразу после попадания фотона в среду не обязательна должна быть необратимой, и этот факт будет особенно важен в дальнейшем.

Обратим внимание также на следующее обстоятельство. Образующееся при  $t > \delta t$  состояние  $|\Psi_{tr}(t)\rangle$  представляет собой квантовую суперпозицию двух макроскопически разделенных состояний, которые к тому же оказываются и физически различными. Первое из состояний  $|\Psi_{a1}^{(3)}(t)\rangle$  является суперпозицией макроскопического числа возбужденных атомных состояний. Второе состояние  $|\Psi_{ph2}(t)\rangle$  описывает второй волновой пакет фотона, находящийся на макроскопическом расстоянии ( $\sim L_{21}$ ) от среды. Таким образом, состояние  $|\Psi_{tr}(t)\rangle$  является примером перепутанных (entangled) состояний двух подсистем (фотона и макроскопической среды), которые называют также гибридными [27], т. к. в них переплетены состояния микросистемы (фотона) и макросистемы (среды 3), а также состояниями типа «шредингеровского кота» (см. [28]). Очевидно, что в конце концов когерентность атомов в состоянии  $|\Psi_{tr}(t)\rangle$  должна затухать под влиянием флуктуаций локальных полей макроскопической среды.

Пока второй волновой пакет не достигнет среды ( $t \leq \tau \approx L_{21}/c$ , см. рис.1), или же необратимые процессы в ней не разрушат атомную когерентность уже возбужденного состояния  $|\Psi_{a1}^{(3)}(t)\rangle$ , общая система из атомов и фотона может описываться квантовой суперпозицией  $|\Psi_{tr}(t)\rangle$ . Время жизни  $t_{tr}$  промежуточного состояния  $|\Psi_{tr}(t)\rangle$  ограничено сверху временем фазовой памяти среды  $T_2$  ( $t_{tr} \leq T_2$ ). Поскольку в некоторых средах время  $T_2$  достигает нескольких микросекунд, состояние  $|\Psi_{tr}(t)\rangle$  может быть интересным объектом для исследования долговременных закономерностей в поведении и распаде гибридных состояний. В связи с этим особый интерес может вызвать возможность восстановления (рефазировки) на водимой одним фотоном макроскопической когерентно-

сти, быстро распадающейся сразу после попадания фотона в среду.

## 2.2. Второй этап ( $t < \tau$ )

Найдем волновую функцию в результате воздействия лазерного импульса, подаваемого на среду в момент времени  $t = t_{las} \gg \delta t_{ph}$ . Пусть импульс имеет достаточно малую длительность, так что его воздействие будем описывать унитарным оператором  $U(\vartheta, \mathbf{k}_{las})$ :

$$U(\vartheta, \mathbf{k}_{las}) = \prod_{j=1}^N U_j,$$

$$U_j = P_{11}^{(j)} + \cos(\vartheta/2)(P_{22}^{(j)} + P_{33}^{(j)}) + i \sin(\vartheta/2)$$

$$\times [P_{32}^{(j)} \exp(i\zeta_j) + P_{23}^{(j)} \exp(-i\zeta_j)],$$

где не учитывается влияние различия собственных частот атомов за время действия импульса, используется представление взаимодействия и введены следующие параметры импульса:  $\mathbf{k}_{las}$  – волновой вектор,  $\omega_{las} = \omega_{32}$  – частота,  $\vartheta = \hbar^{-1} dE_0 \delta t_{las}$  – площадь,  $\delta t_{las}$  – длительность ( $\delta t_{las} \gamma_{mm} \ll 1$ ),  $\zeta_j = \mathbf{k}_{las} \mathbf{r}_j + \omega_{32}^{(j)} t_{las} + \varphi_{las}$  – фаза, в которой учитывается фаза поля и  $j$ -го атома в момент воздействия лазерного импульса (см. также [16]).

В результате эволюции волновая функция примет вид

$$|\Psi(t_{las} + \delta t_{las})\rangle = U(\vartheta, \mathbf{k}_{las}) |\Psi_{tr}(t_{las})\rangle$$

$$= \frac{1}{\sqrt{2}} [U(\vartheta, \mathbf{k}_{las}, t_{las}) |\Psi_{a1}^{(3)}(t_{las})\rangle + |\Psi_{ph2}(t_{las} + \delta t_{las})\rangle]$$

$$= \frac{1}{\sqrt{2}} [\cos(\vartheta/2) |\Psi_{a1}^{(3)}(t_{las})\rangle + i \sin(\vartheta/2) |\varphi_{a1}^{(2)}(t_{las})\rangle$$

$$+ |\Psi_{ph2}(t_{las} + \delta t_{las})\rangle], \quad (14)$$

где

$$|\varphi_{a1}^{(2)}(t_{las})\rangle = \sum_{j=1}^N \alpha_1(\omega_{31}^{(j)} - \omega_{31}) \chi_1(\mathbf{r}_j) \exp[-(\mathbf{n}_1 \mathbf{r}_j)/2]$$

$$+ i(\mathbf{K}_1 - \mathbf{k}_{las}) \mathbf{r}_j - i(\omega_{32}^{(j)} t_{las} + \varphi_{las})] P_{21}^{(j)} |0\rangle |g\rangle \quad (15)$$

– состояние атомов, возбужденных на второй уровень, которое, таким образом, связано с первой траекторией фотона.

## 2.3. Третий этап ( $t > \tau$ )

Найдем волновую функцию после взаимодействия среды со вторым волновым пакетом фотона (вблизи момента времени  $t = t_2$ , см. рис.2). В этом случае взаимодействие со средой затронет эволюцию второго слагаемого в (7)  $|\Psi_{ph2}\rangle$ . Для данной части волновой функции (7) по аналогии с получением формул (8) и (9) находим следующее решение:

$$|\Psi_{ph2}(t)\rangle \Big|_{t > t_2 + \delta t_{ph}} \rightarrow |\Psi_{a2}^{(3)}(t)\rangle + |\Psi_{ph2}(t)\rangle \Big|_{xL \gg 1}$$

$$\simeq |\Psi_{a2}^{(3)}(t)\rangle, \quad (16)$$

где вновь используется условие, что среда для фотона является оптически толстой. Волновая функция  $|\Psi_{a2}^{(3)}(t)\rangle$ , может быть описана выражением типа (10). Эволюция  $|\Psi_{a2}^{(3)}(t)\rangle$  после окончания когерентного взаимодействия фотона со средой будет вновь определяться лишь влиянием неколлективных спонтанных процессов. Функция  $|\Psi_{a2}^{(3)}(t)\rangle$  с учетом спонтанных процессов примет вид

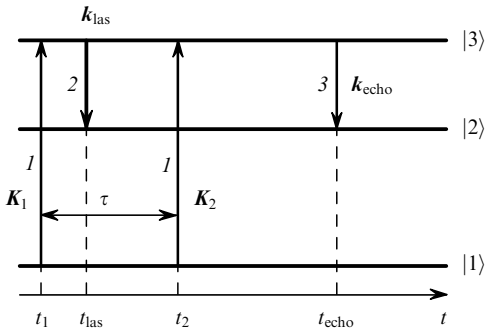


Рис.2. Схема возникновения однофотонного эха:  
1 – фотоны; 2 – лазерный импульс; 3 – сигнал эха;  $t_{\text{echo}} = t_2 + (\tau - t_{\text{las}} + t_1)\omega_{31}/\omega_{32}$ ,  $\mathbf{k}_{\text{echo}} = \mathbf{k}_{\text{las}} + \mathbf{K}_2 - \mathbf{K}_1$ .

$$|\Psi_{\text{a}2}^{(3)}(t)\rangle \simeq \exp[-(\gamma_{31} + \gamma_{32})(t - \tau)/2]|\Psi_{\text{a}2}^{(3)}(\tau + \delta t)\rangle. \quad (17)$$

С учетом (17) волновая функция, описывающая возбуждение атомной подсистемы сразу после попадания второго волнового пакета в среду, будет определяться следующим выражением:

$$\begin{aligned} |\Psi_{\text{a}}(t)\rangle &\approx \exp[-(\gamma_{31} + \gamma_{32})(t - \tau)/2]|\Psi_{\text{a}2}^{(3)}(\tau)\rangle + \cos(\vartheta/2) \\ &\times \exp[-(\gamma_{31} + \gamma_{32})t/2]|\Psi_{\text{a}1}^{(3)}(\delta t)\rangle + i \sin(\vartheta/2) \\ &\times \exp[-(\gamma_{31} + \gamma_{32})\tau/2]|\varphi_{\text{a}1}^{(2)}(\tau)\rangle. \end{aligned} \quad (18)$$

Данное решение справедливо для  $t > \tau$  и оно будет использоваться при нахождении параметров излучаемого средой поля.

### 3. Однофотонное эхо как проявление ОВЗ интерференции

Изучим поведение усредненных атомных операторов  $\langle P_k^{\pm}(t) \rangle$  и  $\langle P_k^{-}(t)P_k^{+}(t) \rangle$ , поскольку амплитуда  $\langle E_k^{\pm}(\mathbf{r}, t) \rangle$  и интенсивность  $\langle I_k(r, t) \rangle = \langle E_k^{+}(\mathbf{r}, t)E_k^{-}(\mathbf{r}, t) \rangle$  излучаемого в направлении  $\mathbf{k}$  поля могут определяться через данные атомные операторы [22–24], усредненные по состоянию атомов (18). Для оператора излучаемого поля  $E_k^{\pm}(\mathbf{r}, t + r/c)$  в точке  $\mathbf{r}$  имеем

$$E_k^{\pm}(\mathbf{r}, t + r/c) \sim \frac{\omega_{32}^2 [\mathbf{k}[\mathbf{k}\mathbf{d}_{32}]]}{r} P_k^{\pm}(t), \quad (19)$$

где

$$\begin{aligned} P_k^{-}(t) &= \sum_{j=1}^N P_{23}^{(j)} \exp[-i(\mathbf{k}\mathbf{r}_j + \omega_{32}^{(j)}t)]; \\ P_k^{+}(t) &= (P_k^{-}(t))^+. \end{aligned} \quad (20)$$

В дальнейшем при использовании (19), (20) мы ограничимся лишь диапазоном частот вблизи атомной частоты  $\omega_{32}$ , т. к. именно в этом диапазоне будет возможно зафиксировать наличие ОВЗ интерференции.

### 4. Амплитуда поля $\langle E_k(t, \mathbf{r}) \rangle$

Используя (16)–(18), вычислим электрическую компоненту поля  $\langle E_k(t, \mathbf{r}) \rangle$ , излучаемого в направлении  $\mathbf{k}$ :

$$\langle E_k(t, \mathbf{r}) \rangle = \langle E_k^{+}(t, \mathbf{r}) \rangle + \langle E_k^{-}(t, \mathbf{r}) \rangle, \quad (21)$$

где

$$\langle E_k^{-}(t, \mathbf{r}) \rangle = \langle E_k^{+}(t, \mathbf{r}) \rangle^*; \quad \langle E_k^{+}(t, \mathbf{r}) \rangle \propto \langle P_k^{-}(t, \mathbf{r}) \rangle$$

$$\begin{aligned} &= \langle \Psi_{\text{a}}(t) | P_k^{-} | \Psi_{\text{a}}(t) \rangle = -i \frac{d_{23}}{2} \sin(\vartheta/2) \\ &\times \exp[-(\gamma_{31} + \gamma_{32})(t + t_{\text{las}} - \tau)/2] A(t - t_{\text{echo}}; \mathbf{k}, \mathbf{k}_{\text{echo}}) \\ &\times \exp[-i\omega_{32}(t - t_{\text{echo}}) + i\mathbf{k}_{\text{echo}}\mathbf{r}]; \end{aligned} \quad (22)$$

$$\begin{aligned} t_{\text{echo}} &= \tau + (\tau - t_{\text{las}})\omega_{31}/\omega_{32}; \quad \mathbf{k}_{\text{echo}} = \mathbf{k}_{\text{las}} + \mathbf{K}_2 - \mathbf{K}_1; \\ A(t - t_{\text{echo}}; \mathbf{k}, \mathbf{k}_{\text{echo}}) \exp[-i\omega_{32}(t - t_{\text{echo}}) + i\mathbf{k}_{\text{echo}}\mathbf{r}] \\ &= \langle \varphi_{\text{a}1}^{(2)}(t) | \sum_{j=1}^N P_{23}^{(j)} \exp[-i(\omega_{32}^{(j)}t + \mathbf{k}\mathbf{r}_j)] | \Psi_{\text{a}2}^{(3)}(t) \rangle. \end{aligned} \quad (23)$$

Функцию  $A(t - t_{\text{echo}}; \mathbf{k}, \mathbf{k}_{\text{echo}})$  находим, переходя к непрерывному распределению атомов в среде объемом  $V$  и выполняя независимое интегрирование по пространству и по спектральному распределению атомов:

$$\begin{aligned} A(t - t_{\text{echo}}; \mathbf{k}, \mathbf{k}_{\text{echo}}) &= e^{-i\varphi_{\text{las}}} \sum_{j=1}^N \alpha_1^*(\omega_{31}^{(j)} - \omega_{31}) \alpha_2(\omega_{31}^{(j)} - \omega_{31}) \\ &\times \chi_1^*(\mathbf{r}_j) \chi_2(\mathbf{r}_j) \exp[-\alpha(\mathbf{n}_1 \mathbf{r}_j + \mathbf{n}_2 \mathbf{r}_j)/2 + i\xi_j \omega_{32}(t - t_{\text{echo}}) \\ &- i(\mathbf{k} - \mathbf{k}_{\text{echo}})\mathbf{r}_j] = \gamma_{\mathbf{k}-\mathbf{k}_{\text{echo}}} T_{12}(t - t_{\text{echo}}) e^{-i\varphi_{\text{las}}}, \end{aligned} \quad (24)$$

где введены функции

$$\begin{aligned} \gamma_{\mathbf{k}-\mathbf{k}_{\text{echo}}} &= \frac{N}{V} \int_V d\mathbf{r} \chi_1^*(\mathbf{r}) \chi_2(\mathbf{r}) \exp[-\alpha(\mathbf{n}_1 \mathbf{r} + \mathbf{n}_2 \mathbf{r})/2 \\ &- i(\mathbf{k} - \mathbf{k}_{\text{echo}})\mathbf{r}] \propto \delta_{\mathbf{k}-\mathbf{k}_{\text{echo}}}, \end{aligned} \quad (25)$$

$$\begin{aligned} T_{12}(t - t_{\text{echo}}) &= \int_{-\infty}^{\infty} d\xi f(\xi) \alpha_1^*(\xi \omega_{31}) \alpha_2(\xi \omega_{31}) \\ &\times \exp[i\xi \omega_{32}(t - t_{\text{echo}})]. \end{aligned} \quad (26)$$

Функции  $\chi_{1,2}(\mathbf{r})$  и  $\exp[-\alpha(\mathbf{n}_1 \mathbf{r} + \mathbf{n}_2 \mathbf{r})/2]$  слабо меняются на расстояниях порядка длины волны излучения  $\lambda$ , поэтому функция  $\gamma_{\mathbf{k}-\mathbf{k}_{\text{echo}}}$  имеет резкий максимум вблизи  $\mathbf{k} \approx \mathbf{k}_{\text{echo}}$ . Функция  $T_{12}(t - t_{\text{echo}})$  также имеет один максимум при  $t = t_{\text{echo}}$ , что соответствует появлению сигнала однофотонного эха (см. рис.2). Обратим внимание на то, что сигнал эха (см. (24), (26)) пропорционален произведению  $\alpha_1^*(\xi \omega_{31}) \alpha_2(\xi \omega_{31})$ , где индексы 1 и 2 у  $\alpha$  относятся к двум траекториям, время прилета фотона по которым в среду различается на  $\tau$ . Таким образом, сигнал эха является следствием существования квантовой суперпозиции однофотонных состояний (2).

Будем использовать нормировку (12) и приближение  $\exp[-\alpha(\mathbf{n}_1 \mathbf{r} + \mathbf{n}_2 \mathbf{r})/2] \approx \exp(-\alpha \mathbf{n}_1 \mathbf{r}) \approx \exp(-\alpha \mathbf{n}_2 \mathbf{r})$ , которое является удовлетворительным, когда направление  $\mathbf{K}_1$  не сильно отклоняется от направления  $\mathbf{K}_2$ , так что оба волновых пакета почти полностью перекрываются в среде. В этом приближении для  $\mathbf{k} = \mathbf{k}_{\text{echo}}$  и  $t = t_{\text{echo}}$  получим, что  $A(0; \mathbf{k}_{\text{echo}}, t_{\text{echo}}) \approx 1$ . Итак, для амплитуды поля эхо-сигнала можно записать выражение

$$\begin{aligned} \langle E_{\mathbf{k}_{\text{echo}}}^{+}(t, \mathbf{r}) \rangle &\propto \langle P_{\mathbf{k}_{\text{echo}}}^{-}(t) \rangle = -i \frac{d_{23}}{2} \sin(\vartheta/2) T_{12}(t - t_{\text{echo}}) \\ &\times \exp[-(\gamma_{31} + \gamma_{32})(t + t_{\text{las}} - \tau)/2] \\ &\times \exp\{-i[\omega_{32}(t - t_{\text{echo}}) - \mathbf{k}_{\text{echo}}\mathbf{r} + \varphi_{\text{las}}]\}. \end{aligned} \quad (27)$$

Из выражения (26) видим, что для преобладающего неоднородного уширения линии временное поведение эха (27) будет определяться однофотонной волновой

функцией (т. е. спектром функции  $\alpha_1^*(\xi\omega_{31})\alpha_2(\xi\omega_{31})$ ). Для устойчивого детектирования эхо-сигнала при накоплении большого числа экспериментальных данных необходимо, чтобы все три момента времени  $t_1$ ,  $t_{\text{las}}$  и  $t_2$  (см. рис.2) были «привязаны» друг к другу, т. к. фаза и момент появления сигнала  $t_{\text{echo}} = \tau + (\tau - t_{\text{las}})\omega_{31}/\omega_{32}$  будут сдвигаться при изменении времени воздействия лазерного импульса  $t_{\text{las}}$ . Такого типа «привязка» в случае генерации однофотонных волновых пакетов к лазерным импульсам реализована, например, в недавних экспериментах по телепортации однофотонных состояний [8].

## 5. Интенсивность излучения $\langle I_{\omega_{32}k}(t, r) \rangle$

Интенсивность излучения следующим образом выражается через атомные операторы [22]:

$$\langle I_k \rangle \sim \frac{\omega_{32}^4}{r^2} \left| \frac{[\mathbf{k}[\mathbf{k}\mathbf{d}_{32}]]}{c^2 k^2 d_{32}} \right|^2 \langle P_k^+ P_k^- \rangle. \quad (28)$$

Для изучения неклассических особенностей излучения представляет интерес сравнить поведение амплитуды поля (27) с поведением интенсивности поля  $\langle I_{k_{\text{echo}}}(t) \rangle$ , излучаемого также в направлении  $k_{\text{echo}}$  после взаимодействия среды со вторым волновым пакетом фотона. В этом случае  $\langle P_k^+ P_k^- \rangle$  находим, используя вновь волновую функцию (18) :

$$\begin{aligned} \langle P_k^+ P_k^- \rangle &= \langle \Psi_a(t) | P_k^+(t) P_k^-(t) | \Psi_a(t) \rangle = \frac{d_{32}^2}{2} \{ \cos^2(\vartheta/2) \\ &\times \exp[-(\gamma_{31} + \gamma_{32})t] \rho_{11}(t; \delta t, \delta t) + \exp[-(\gamma_{31} + \gamma_{32}) \\ &\times (t - \tau)] \rho_{22}(t; \tau, \tau) + \cos(\vartheta/2) \exp[-(\gamma_{31} + \gamma_{32}) \\ &\times (t - \tau/2)] [\rho_{12}(t; \delta t, \tau) + \rho_{21}(t; \tau, \delta t)] \}, \end{aligned} \quad (29)$$

где

$$\rho_{nm}(t; t', t'') = \langle \Psi_{an}^{(3)}(t') | P_k^+(t) P_k^-(t) | \Psi_{am}^{(3)}(t'') \rangle. \quad (30)$$

Используя выражения (8)–(12) для функций  $|\Psi_{a1}^{(3)}(0)\rangle$  и  $|\Psi_{a2}^{(3)}(\tau)\rangle$  и учитывая (25), (26), для функций  $\rho_{nm}(t; t', t'')$  получаем следующие соотношения:

$$\rho_{11}(t; \delta t, \delta t) \simeq T_{11}(0) \approx 1, \quad (31)$$

$$\rho_{22}(t; \tau, \tau) \simeq T_{22}(0) \approx 1, \quad (32)$$

$$\rho_{12}(t; 0, \tau) = \exp(i\omega_{31}\tau) \gamma_{k_1-k_2} T_{12}(\tau) \Big|_{t>\delta t_{ph}, \tau} \simeq 0, \quad (33)$$

$$\rho_{21}(t; \tau, 0) = \exp(-i\omega_{31}\tau) \gamma_{k_2-k_1} T_{21}(\tau) \Big|_{t>\delta t_{ph}, \tau} \simeq 0. \quad (34)$$

Здесь функции  $T_{mn}$  образуются по образцу функции  $T_{12}$  (26).

Из (29) и (31)–(34) видно, что интенсивность излучаемого поля изотропна и спадает с характерным временем  $(\gamma_{32} + \gamma_{31})^{-1}$  без появления какого-либо всплеска, отвечающего излучению эха. Таким образом, соотношение между интенсивностью поля  $\langle I_{\omega_{32}k_{\text{echo}}}(t, r) \rangle$  и его амплитудой не удовлетворяет классическим представлениям, т. е.

$$\langle I_{\omega_{32}k_{\text{echo}}}(t, r) \rangle \neq \langle E_{\omega_{32}k_{\text{echo}}}(t, r) \rangle \langle E_{\omega_{32}k_{\text{echo}}}(t, r) \rangle. \quad (35)$$

Причина несоответствия в поведении амплитуды и интенсивности поля лежит в одноатомном характере состояния среды  $|\Psi_a(t)\rangle$  (18), возбужденного одним фотоном.

При этом в отличие от амплитуды  $\langle E_{\omega_{32}k_{\text{echo}}}(t, r) \rangle$  (27) поведение интенсивности поля  $\langle I_{k_{\text{echo}}}(t) \rangle$  определяется независимым спонтанным излучением отдельных атомов, что и отражается во временной зависимости (29). В данном случае интенсивность излучения (28), (29) представляет собой сумму лишь двух слагаемых, включающих (31), (32) и экспоненциально спадающих во времени в соответствии с распадом отдельного атома. Каждое из этих двух слагаемых связано с попаданием в среду одного из двух волновых пакетов фотона, при этом в интенсивности  $\langle I_{k_{\text{echo}}}(t) \rangle$  подавляется любая интерференция полей, связанных с различными траекториями фотона, так что соответствующие слагаемые, содержащие (33) и (34), становятся близки к нулю.

Появление когерентных коллективных свойств в излучении, испускаемом системой атомов, возможно лишь при наличии двухатомных возбуждений в среде, поскольку интенсивность излучения  $\langle I_k(t) \rangle$  выражается через двухатомные операторы (см. (28)). Классическое соотношение между поведением амплитуды поля и поведением его интенсивности, когда  $\langle I_{\omega_{32}k_{\text{echo}}}(t, r) \rangle \approx \langle E_{\omega_{32}k_{\text{echo}}}(t, r) \rangle \times \langle E_{\omega_{32}k_{\text{echo}}}(t, r) \rangle$ , восстановится, если в исходном квантовом состоянии  $|\Psi_{in}\rangle$  кроме однофотонной компоненты будет также присутствовать и двухфотонная компонента. Например, это будет иметь место в случае взаимодействия среды не с однофотонным волновым пакетом, а с полем в глауберовском состоянии  $|\alpha\rangle$ , даже если для него среднее число фотонов  $|\alpha|^2 = 1$ . В данном случае этот результат представляется естественным (см., напр., [19]), т. к. состояние  $|\alpha\rangle$  обычно воспроизводит результаты классического подхода при описании электромагнитного поля.

## 6. Заключение

Первый вариант эксперимента для наблюдения ОВЗ интерференции, основанный на использовании резонансной двухуровневой среды, был предложен в работе [14]. Недавно этот вариант вновь привлек внимание в связи с оценкой наблюдаемого сигнала для ряда известных в фотонном эхе веществ и использованием аккумулированного однофотонного эха [18]. Данный вариант наблюдения также вызвал интерес к изучению неклассической динамики светового эха [19], предсказанной и наиболее полно изученной в работах [15, 16] в случае однофотонного эха.

В настоящей статье изучалось формирование ОВЗ интерференции в трехуровневой среде с Л-конфигурацией разрешенных переходов атомов. Для реализации данной интерференции предлагается дополнительное возбуждение среды лазерным импульсом, который переносит возбуждение среды, вызванное первым волновым пакетом фотона с 3-го на 2-й атомный уровень. Ключевым моментом изучаемой интерференции является то, что лазерный импульс действует на среду в промежутке времени между воздействием двух волновых пакетов фотона. В таком случае лазерный импульс будет зондировать не результат интерференции однофотонных состояний в среде, а промежуточное во времени перепутанное квантовое состояние  $|\Psi_{tr}(t)\rangle$  (называемое также состоянием типа «шредингеровского кота», или гибридным состоянием), которое объединяет воедино состояния фотона и макроскопической среды.

Подобное воздействие лазерного импульса на среду не может быть сведено к обычной процедуре считывания в среде интерференционной картины, пусть даже и

однофотонной, поскольку последняя возникает лишь после взаимодействия второго волнового пакета фотона с атомами среды. В результате взаимодействия фотона и лазерного импульса со средой возможно появление однофотонного эха, причем важно то, что эхо-сигнал является собой непосредственный результат ОВЗ интерференции в веществе. Заметим, что излучаемое поле состоит исключительно из эхо-сигнала  $\langle E_{k_{\text{echo}}}^+ (\mathbf{r}, t) \rangle$  (27), которое максимально при  $\vartheta = \pi$ , когда лазерный импульс полностью переводит возбуждение с 3-го атомного уровня на 2-й.

Самостоятельный интерес к изучению однофотонного эха может быть связан с исследованием неклассических свойств переизлучаемого средой поля, т. к. наблюдение однофотонного эха в интенсивности излучения (см. (28) – (34)) оказывается невозможным, что связано с квантовой природой фотона. Проводя аналогию с известной амплитудной интерференцией [6], отметим, что при наблюдении однофотонного эха в амплитуде поля будут воспроизводиться классические закономерности амплитудной интерференции, тогда как для интенсивности поля этого воспроизведения уже не будет.

Вопрос о неклассических свойствах поля, переизлучаемого когерентными резонансными средами при их взаимодействии с фотонами, еще мало изучен. Например, в случае корреляции между двумя фотонами с различными волновыми векторами и частотами поведение амплитуды и интенсивности поля эхо-сигнала приобретает другие неожиданные особенности [29]. В связи с этим отметим также, что новые квантовые особенности в поведении излучения рассматриваются в работе [20]. Подчеркнем, что экспериментальное изучение отмеченных вопросов имеет самое непосредственное отношение к пониманию неклассической динамики полей, связанных с фотоном.

Важно, что именно детектирование сигнала эха будет отражать факт существования гибридного состояния  $|\Psi_{\text{tr}}(t)\rangle$  фотона и среды. Кроме того, подчеркнем, что сигнал эха становится возможным при наличии детерминированной эволюции взаимодействия среды с фотоном, начальное состояние которого делокализовано на временном интервале, включающем воздействие на среду пренебрежимо короткого лазерного импульса. В связи со сказанным следует ожидать, что экспериментальное исследование однофотонного эха позволит проводить детальное изучение фундаментальных вопросов квантовой динамики пространственно делокализованных состояний типа  $|\Psi_{\text{tr}}(t)\rangle$ . В частности, при этом можно лучше понять закономерности эволюции подобных состояний на временах, значительно больших времени поглощения фотона средой, обладающей неоднородно-уширенной резонансной линией. Выполняя подобные эксперименты, можно пытаться получить ценную информацию о скрытых деталях взаимодействия фотона с веществом, которые определяются закономерностями необратимого поглощения и распада возбуждений в многоатомной макроскопической системе.

Наконец, отметим, что заметный интерес могут вызывать вопросы управления эволюцией делокализованных состояний типа  $|\Psi_{\text{tr}}(t)\rangle$ , в частности перспективы их практического использования при решении задач квантовой информатики. В связи с этим рассмотренная схема взаимодействия однофотонных полей с макроскопичес-

кими трехуровневыми средами может использоваться при хранении информации о динамике квантованных полей. Предлагаемая схема интересна тем, что фотон испытывает 100 %-ное поглощение, при этом передаваемая в среду квантовая информация может быть впоследствии извлечена при переходе в другой частотный диапазон, куда не попадает частота излучения лазера и где, следовательно, поведение невозбужденных атомов не возмущается.

Автор благодарен рецензентам журнала «Квантовая электроника» за конструктивные замечания, которые способствовали улучшению изложения материала. Работа поддержана РФФИ (гранты № 98-03-33229 и 00-15-97410), фондами АН Татарстана (грант № 14-29) и Фольксваген (грант 1/72-171).

1. Мандель Л., Вольф Э. *Оптическая когерентность и квантовая оптика* (М., Физматлит, 2000).
2. Scully M.O., Zubairy M.S. *Quantum optics* (Berlin, Springer-Verlag, 1997).
3. Walls D.F., Milburn G.J. *Quantum optics* (Berlin, Springer-Verlag, 1994).
4. Pfleegor R.L., Mandel L. *Phys.Letts*, **122**, 766 (1967).
5. Санин А.А., Жарко А.В., Иверонова В.И., Кацельсон А.А., Кисин В.И. *ЖЭТФ*, **56**, 78 (1969).
6. Клышко Д.Н. *УФН*, **164**, 1187 (1994); **168**, 977 (1998).
7. Фейнман Р., Лайтон Р., Сэндс М. *Фейнмановские лекции по физике. Квантовая механика* (М., Мир, 1978, т.8, гл.1).
8. Bouwmeester D., Pan J.-W. et al. *Phys.Rev.Letts*, **82**, 1345 (1999).
9. Bouwmeester D., Pan J.-W., Mattle K., Eibl M., Weinfurter H., Zeilinger A. *Nature*, **390**, 575 (1999); Pan J.-W., Bouwmeester D., Weinfurter H., Zeilinger A. *Phys.Rev.Letts*, **80**, 3891 (1998).
10. Aharonov Y., Vaidman L. *Phys.Letts A*, **178**, 38 (1993).
11. Elitzur A., Vaidman L. *Found.Phys.*, **23**, 987 (1993); Simon S.H., Platzman P.M. *Phys.Rev.A*, **61**, 052103 (2000); Krenn G., Summhammer J., Svozil K. *Phys.Rev.A*, **61**, 052102 (2000).
12. Deutch D., Ekert A. *Physics Today*, № 3, 47 (1997).
13. Czachor M. *Phys.Letts A*, **257**, 107 (1999); Botero A., Reznik B. *Phys.Rev.A*, **61**, 050301(R) (2000).
14. Кессель А.Р., Моисеев С.А. *Письма в ЖЭТФ*, **58**, 77 (1993); *Изв. РАН. Сер. физич.*, **58**, 135 (1994).
15. Moiseev S.A. *Extended Abstracts of Papers XXVII Congr. AMPERE* (Казань, 1994, р. 369); *Hyp.Inter.*, **107**, 345 (1997); Моисеев С.А. *Оптика и спектроскопия*, **83**, 280 (1997).
16. Моисеев С.А. *Оптика и спектроскопия*, **82**, 1027 (1997); *Оптика и спектроскопия*, **84**, 797 (1998); Moiseev S.A. *Proc. I Intern. Induced Gamma Emission Workshop* (Predeal, Romania, 1999, p. 279).
17. Zurek W.H. *Physics Today*, № 10, 36 (1991).
18. Mohan R.K., Luo B., Mair S., Kroll S. *Phys.Rev.A*, **58**, 4348 (1998).
19. Freidberg R., Hartmann S.R. *Laser Physics*, **9**, 1093 (1999).
20. Моисеев С.А., Кролл С., Олсон Н. *Тезисы докл. междунар. конф. «Эффект Мессбауера: магнетизм, материаловедение, гамма-оптика»* (Казань, 2000, с. 185); Moiseev S.A., Kroll S., Ohlsson N. (to be published).
21. Englert B.-G. *Zs.Naturforsch.a*, **54**, 11 (1999).
22. Agarwal G.S. *Quantum statistical theories of spontaneous emission* (Springer Tracts in Modern Physics, Berlin, Springer-Verlag, 1974, v. 70).
23. Андреев А.В., Емельянов В.И., Ильинский Ю.А. *Кооперативные явления в оптике* (М., Наука, 1988).
24. Аллен Л., Эберли Дж. *Оптический резонанс и двухуровневые атомы* (М., Мир, 1979).
25. Даудов С.А. *Теория твердого тела* (М., Наука, 1976).
26. Proc. I Intern. Induced Gamma Emission Workshop, 1997 (Predeal, Romania, 1999).
27. Wigner E.P. In: *Quantum theory and measurement* (Princeton, University Press, 1983).
28. Садберг А. *Квантовая механика и физика элементарных частиц* (М., Мир, 1989, гл. 5).
29. Moiseev S.A., Noskov M.I. *Proc. SPIE*, **3736**, 129 (1999).